

## استخراج روابط سینماتیکی و تحلیل اجزای محدود تنش در پوسته‌ی انعطاف‌پذیر جعبه دندنه‌ی هارمونیک درایو

محمد شیشه ساز<sup>۱</sup>، شهرام هاشمی<sup>۲</sup>

تاریخ دریافت: ۱۳۸۹/۷/۴

تاریخ پذیرش: ۱۳۹۰/۲/۸

### چکیده:

در این تحقیق روابط سینماتیکی در پوسته‌ی جعبه دندنه‌ی هارمونیک درایو که چرخ‌دنده‌ی صلب آن ثابت است استخراج شده‌اند. بر اساس روابط بدست آمده این نتیجه حاصل شده است که به ازای جمیع مقادیر بار اعمال شده، نسبت جابجایی قائم به افقی در پوسته‌ی یاد شده ثابت بوده و فقط به ابعاد هندسی آن بستگی دارد. همچنین، حداقل تفاوت بین دندانه‌های چرخ‌دنده‌ی صلب و انعطاف‌پذیر باید برابر ۲ باشد. ضمن مقایسه‌ی چرخ‌دنده‌ی انعطاف‌پذیر با پوسته‌ی استوانه‌ای شکلی که تحت بار متمرکز P قرار گرفته ضریب اصلاح  $C_f$  برای ابعاد مختلف پوسته‌ی انعطاف‌پذیر استخراج شده است. این ضریب می‌تواند نقش عمداتی در طراحی و ساخت پوسته‌ی انعطاف‌پذیر ایفا نماید. بدینوسیله می‌توان حداقل باری را که باعث درگیری کامل دندانه‌ها می‌شود محاسبه نمود.

**کلمات کلیدی:** جعبه دندنه‌ی هارمونیک درایو، پوسته‌ی انعطاف‌پذیر، روابط سینماتیکی، تنش

سرعت و تبدیل حرکت خطی به دورانی (و برعکس) و یا دورانی به دورانی استفاده می‌شود. از جمله‌ی این موارد می‌توان بالابرها و پله‌های برقی، محرک آنتن‌ها و رادارهای مختلف، پاهای و بازوهای مصنوعی [۴-۶]، ربات‌ها [۹-۱۰]، صنایع فضائی [۱۱-۱۰] و نظامی را نام برد. همچنین، به دلیل آب‌بندی بالای این جعبه دندنه‌ها، از آنها به منظور انتقال توان در عملگرهای شیرهای آب‌بندی شده، محرک میله‌های کترول راکتورهای هسته‌ای و موارد پژوهشی نیز استفاده می‌شود.

### ۱- مقدمه

چرخ‌دنده‌های انعطاف‌پذیر از نوع هارمونیک درایو گروهی از سیستم‌های انتقال قدرت و یا تبدیل سرعت محسوب می‌شوند که از آنها به منظور انتقال گشتاور همراه با تبدیل دور بالا استفاده می‌شود. تبدیل دور در این جعبه دندنه‌ها به یک میلیونیوم (یا برعکس) نیز می‌رسد [۱]. این نوع جعبه دندنه‌ها به دلیل اشغال حجم کم و تبدیل دور بسیار بالا همراه با دقت عمل ویژه، اهمیت شایانی را در صنایع مختلف پیدا نموده‌اند. امروزه از این چرخ‌دنده‌ها بطور گسترده در صنایع مختلف به منظور کاهش

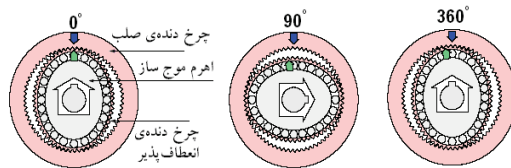
۱- استاد- دانشکده‌ی مهندسی- دانشگاه شهید چمران، mshishehsaz@scu.ac.ir

۲- کارشناسی ارشد- دانشکده‌ی مکانیک- دانشگاه شهید چمران

توجه به ثابت بودن چرخ دندنه‌ی صلب، به ازای یک دور کامل اهرم موج ساز در جهت ساعتگرد، پوسته‌ی انعطاف‌پذیر به میزان دو دندانه در جهت پادساعتگرد نسبت به چرخ دندنه‌ی صلب می‌چرخد (شکل ۲-الف). می‌توان با در نظر گرفتن مقادیر و جهت‌های مختلف برای دوران هر یک از عضوها، نسبت سرعت زاویه‌ای خروجی به ورودی و نیز جهت آن را کنترل نمود (شکل ۲-ب). در هر حالت، نسبت تبدیل دور به تعداد دندانه‌های واقع بر چرخ دندنه‌ی انعطاف‌پذیر و چرخ دندنه‌ی صلب دارد.



شکل (۱): اجزای گستردۀ جعبه دندنه‌ی هارمونیک درایو



شکل ۲-الف: نحوه عملکرد جعبه دندنه‌ی هارمونیک درایو با چرخ دندنه‌ی صلب ثابت

راندمان کاری این نوع چرخ دندنه‌ها بالا و با توجه به نحوه روغنکاری و طراحی دندانه‌ها از ۶۰٪ الی ۹۰٪ متغیر است. از آنجا که بیشتر دندانه‌های واقع بر پوسته‌ی انعطاف‌پذیر با دندانه‌های

Dhaouadi [۱۲]، اثر هیستروسوسیس را در این جعبه دندنه‌ها بررسی نمود. Kayabasi و همکاران وی [۱۳]، بهینه‌سازی شکل دندانه‌های چرخ دندنه‌ی انعطاف‌پذیر را در یک جعبه دندنه‌ی هارمونیک درایو از روش اجزای محدود مورد بررسی قرار دادند. Ardelean [۱۴]، به کمک نرم‌افزار CATIA پوسته‌ی یک جعبه دندنه‌ی هارمونیک درایو را مورد بررسی قرار داد. سپس، نتایج بدست آمده از نرم‌افزار یاد شده با نتایج حاصل از آزمایشات مقایسه گردید. Kikuchi و همکاران وی [۱۵]، ضمن مدل سازی قشر روغنی که از آن در روغنکاری جعبه دندنه استفاده می‌شد، تنش بوجود آمده در پوسته‌ی انعطاف‌پذیر را در یک جعبه دندنه‌ی هارمونیک درایو بررسی نمودند. Ianici و همکاران وی [۱۶]، عملکرد و ساخت نوع جدیدی از محرکه‌ی هارمونیک را که اصطلاحاً سیستم انتقال هارمونیک دوبل (double Harmonic Transmission) نامیده می‌شد بررسی نمودند. Rheaume و همکاران وی [۱۷]، به کمک تحلیل اجزای محدود، مقاومت پیچشی پوسته‌ی انعطاف‌پذیر یک جعبه دندنه‌ی هارمونیک درایو را بررسی نمودند. نتایج اجزای محدود آنها تفاوت قابل ملاحظه‌ای را با مقادیر کارخانه‌ی سازنده نشان می‌داد.

تعیین پارامترهای مهم در طراحی و اثر مستقیم آنها بر عملکرد جعبه دندنه، روابط سینماتیکی و مسائل مشابه تقریباً صفر و متأسفانه اطلاعات موجود در زمینه‌ی طراحی و کارکرد بهینه‌ی این نوع جعبه دندنه‌ها یا ناقص بوده و یا به دلیل کاربردهای نظامی و هسته‌ای آنها بسیار محدود بوده و از انتشار آنها ممانعت شده است. مطالب به چاپ رسیده جنبه‌های کلی و تجاری را منظور نموده است [۱۸]. بنابراین نیاز مبرم به تحقیقات در این زمینه و تجزیه و تحلیل این نوع جعبه دندنه‌ها جهت نیل به اهداف فوق ضروری به نظر می‌رسد.

چرخ دندنه‌های یاد شده دارای سه قسمت اساسی می‌باشند که در شکل (۱) نشان داده شده‌اند. در خلال حرکت، با توجه به دور خروجی موردنظر یکی از این عضوها می‌تواند ثابت و عضوهای دیگر متحرک باشند. شکل (۲) نحوه عملکرد این نوع جعبه دندنه‌ها را در حالتی که چرخ دندنه‌ی صلب ثابت باشد نشان می‌دهد. در این حالت اگر اهرم موج ساز محرک و چرخ دندنه‌ی انعطاف‌پذیر متحرک (خروچی) فرض شود در آن صورت با

انعطاف پذیر، و بر اساس شکل ۳-ج،  $W_v$  حداکثر خیز مجاز این چرخ دندنه در راستای قائم پس از بارگذاری است. پس از بارگذاری توسط اهرم موج ساز، چرخ دندنه انعطاف پذیر که دارای قطعی کمتر از چرخ دندنه صلب است بیضی شکل شده و در نهایت، با توجه به شکل های ۳-د و ۳-ه، طول OA برابر است:

$$OA = R_r - W_h + t + h + \delta \quad (2)$$

در جاییکه  $\delta$  حداکثر فاصله بین نوک دندنه ی چرخ دندنه انعطاف پذیر و ریشه دندنه روبرو از چرخ دندنه صلب پس از بارگذاری است. از روابط (۱) و (۲) نتیجه می شود که:

$$W_v + W_h = \delta \quad (3)$$

اگر نسبت  $\left| \frac{W_v}{W_h} \right|$  را  $\phi$  نامیده و اندازه  $\delta$  حداقل، یعنی برابر

عمق دندنه یا  $h$  در نظر گرفته شود در آن صورت می توان نشان داد که:

$$W_h = \frac{h}{1+\phi} \quad (4)$$

می توان نشان داد که اندازه شعاع  $R_r$  بر حسب  $\phi$  از رابطه (۶) حاصل می شود.

$$R_r = (R + t) + h \left( \frac{2\phi + 1}{\phi + 1} \right) \quad (5)$$

اگر نوع هر یک از دندنهای به صورت اینولت در نظر گفته شود، به فرض آن که  $a=m$ ,  $a=m$ ,  $b=1/25m$ ,  $a=b$  به ترتیب اندم و دی دندم هر یک از چرخ دندنهای می باشد، شعاع دایره ی گام چرخ دندنه انعطاف پذیر برابر است با:

$$r_p = R + t + 1.25m \quad (6)$$

بر همین اساس، شعاع چرخ دندنه صلب برابر است با:

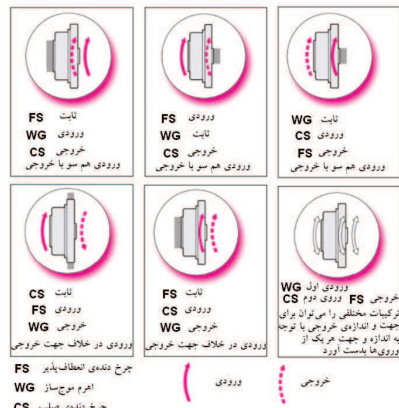
$$r_p = R + t + m \left( \frac{3.25\phi + 1}{\phi + 1} \right) \quad (7)$$

با توجه به روابط (۷) و (۸)، تعداد دندنهای بر هر یک از چرخ دندنهای انعطاف پذیر (پینیون) و صلب به ترتیب برابرند با:

$$N_p = \left( \frac{2(R + t)}{m} \right) + 2.5 \quad (8)$$

$$N_r = \left( \frac{2(R + t)}{m} \right) + 2 \left( \frac{3.25\phi + 1}{\phi + 1} \right) \quad (9)$$

داخلی حلقه ی خارجی در گیرنده (حدود ۳۰ درصد دندنهای)، نسبت تماس در این چرخ دندنهای بسیار بالا بوده و در نتیجه عمر دندنهای به میزان قابل توجهی در مقایسه با چرخ دندنهای معمولی افزایش می یابد. در این جهت دندنهای می توان از موج سازهای مختلفی استفاده نمود که علاوه بر مورد فوق، می توان از موج سازهای سیارهای غلطکی، بادامکی بیضوی و غلطکی سرعتی نام برد.



شکل ۲-۲: جهت دوران خروجی (متحرک) به ازای دوران محرک (ورودی) در حالات مختلف

## ۲- تحلیل سینماتیکی جعبه دندنه هارمونیک

### ۲-۱- استخراج روابط اولیه

قسمتی لز چرخ دندنه صلب و پوسته ای انعطاف پذیری یک جعبه دندنه هارمونیک درایو را مطابق شکل ۳-الف در نظر می گیریم. با توجه به این شکل، ملاحظه می شود که بار اعمال شده توسط اهرم موج ساز پوسته ای انعطاف پذیر را به سمت چرخ دندنه صلب خم نموده و با درگیر شده دندنهای پوسته ای انعطاف پذیر شروع به چرخش می کند.

شکل ۳- ب موقعیت موقعیت دیگر دندنهای را در هنگام درگیری کامل در A نشان می دهد. به منظور استخراج روابط سینماتیکی، با توجه به شکل ۳-ج، شعاع داخلی چرخ دندنه صلب از رابطه ۱ حاصل می شود.

$$R_r = R + W_v + h + t \quad (1)$$

در این رابطه،  $R$  شعاع چرخ دندنه صلب،  $R$  شعاع چرخ دندنه انعطاف پذیر،  $h$  عمق دندنه،  $t$  ضخامت پوسته چرخ دندنه

به منظور دستیابی به روابط فوق، از عبارت  $d=mN$  استفاده شده است (در این رابطه  $d$  قطر دایره‌ی گام و  $m$  مدول هر یک از چرخ‌دنده‌ها است). اگر اختلاف بین دندانه‌های چرخ‌دنده‌ی صلب و چرخ‌دنده‌ی انعطاف پذیر  $\Delta N$  باشد در آن صورت از روابط (۸) و (۹) خواهیم داشت:

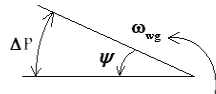
$$\Delta N = \left( \frac{8\phi - 1}{2(\phi + 1)} \right) \quad (10)$$

**۲-۲- نسبت سرعت زاویه‌ای شافت خروجی به ورودی**  
اگر اختلاف بین محیط چرخ‌دنده‌ی انعطاف پذیر با چرخ‌دنده‌ی صلب توسط  $\Delta P$  نشان داده شود در آن صورت:

$$\Delta P = \pi(d - d_r) \quad (11)$$

در جاییکه  $d$  و  $d_r$  به ترتیب قطر هر یک از چرخ‌دنده‌های انعطاف پذیر و صلب می‌باشند. اگر  $\psi$  زاویه‌ای باشد که نقطه‌ای از چرخ‌دنده‌ی انعطاف پذیر به ازای یک دور گردش موج ساز ایجاد می‌کند، (شکل ۴)، در آن صورت می‌توان نشان داد که:

$$\psi = \frac{\Delta P}{R} \quad (12)$$



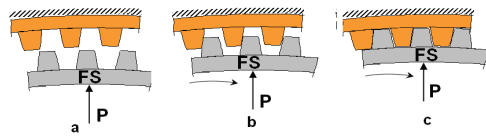
شکل (۴): جابجایی نقطه‌ای بر محیط اهرم موج ساز

از روابط فوق می‌توان اثبات نمود که سرعت زاویه‌ای چرخ‌دنده‌ی انعطاف پذیر،  $\omega_f$ ، بر حسب سرعت زاویه‌ای اهرم موج ساز،  $\omega_{wg}$ ، برابر است با:

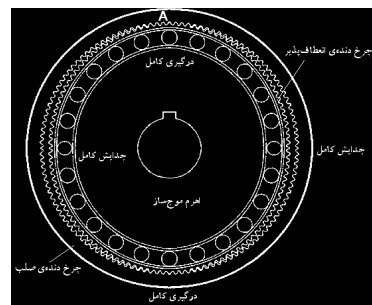
$$\omega_f = \omega_{wg} \left( \frac{N_p - N_r}{N_p} \right) \quad (13)$$

رابطه‌ی فوق نشان می‌دهد با توجه به تفاصل کم بین دندانه‌های دو چرخ‌دنده (این مطلب بعداً اثبات خواهد شد)، نسبت تبدیل دور در این جعبه دندنه‌ها بسیار بالا است.

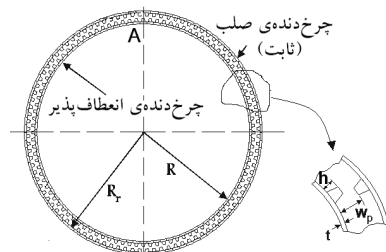
**۳- مدل‌سازی جابجایی‌ها در پوسته‌ی انعطاف پذیر**  
پوسته‌ی انعطاف پذیر جعبه دندنه‌ی هارمونیک درایوی را مطابق شکل ۵- الف در نظر می‌گیریم. اگر برآیند نیروهایی را که از طرف اهرم موج ساز بر پوسته وارد می‌شود  $P$  بنامیم در آن



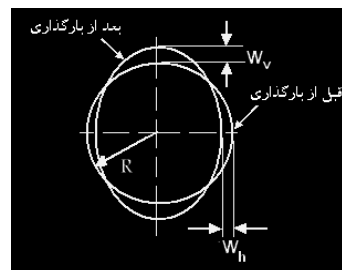
الف. نحوه درگیری دنداده‌ها به ازای بار اعمال شده توسط اهرم موج ساز



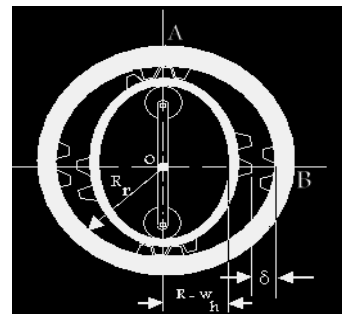
ب. موقعیت دیگر دندانه‌های چرخ دندنه‌ی صلب و انعطاف پذیر در هنگام درگیری کامل در نقطه‌ی A



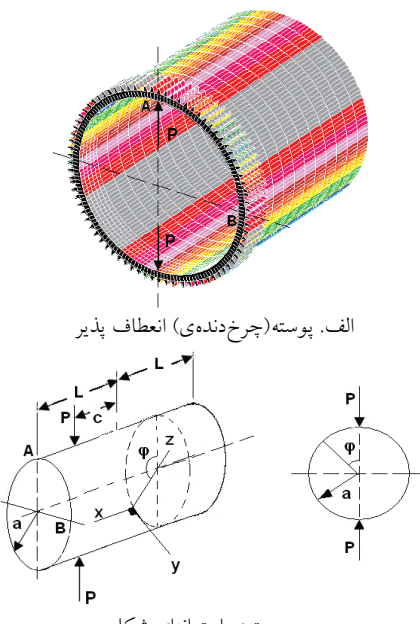
ج. قبل از بارگذاری



د. موقعیت چرخ دندنه‌ی انعطاف پذیر قبل و بعد از بارگذاری



ه. موقعیت دندانه‌ها پس از بارگذاری  
شکل (۳): موقعیت چرخ دندنه‌ی صلب خارجی نسبت به پوسته‌ی انعطاف پذیر قبل و بعد از بارگذاری



شکل (۵): مقایسه پوسته‌ی استوانه‌ی شکل و چرخ دندنه‌ی انعطاف پذیر تحت بار متغیر  $P$

از مقایسه‌ی روابط (۱۷) و (۱۸) ملاحظه می‌شود که  $\phi > 0$  است زیرا  $|w_v| > |w_h|$ . نسبت دو جابجایی یاد شده در پوسته‌ی استوانه‌ی شکل برابر است با:

$$\frac{w_v}{w_h} = \left( \frac{w_v}{w_h} \right)_{\text{استوانه}} - \frac{\frac{pa^3}{\pi DL} \sum_{n=2,4,6,\dots}^{\infty} \frac{1}{(n^2-1)^2} \left\{ 1 + \frac{n^2 L^2}{\left[ \frac{1}{3} n^2 L^2 + 2(1-v)a^2 \right]} \right\}}{\frac{pa^3}{\pi DL} \sum_{n=2,4,6,\dots}^{\infty} \frac{\cos\left(\frac{n\pi}{2}\right)}{(n^2-1)^2} \left\{ 1 + \frac{n^2 L^2}{\left[ \frac{1}{3} n^2 L^2 + 2(1-v)a^2 \right]} \right\}}$$

همانطور که ملاحظه می‌شود این نسبت تابعی از بار اعمال شده نیست. به عبارتی دیگر، به ازای شعاع ثابتی از استوانه و طول آن، به ازای جمیع مقادیر بار اعمال شده مقدار  $\phi$  ثابت است. بعداً، نشان داده خواهد شد که نتایج حاصل از تحلیل اجزای محدود پوسته‌ی انعطاف پذیر منجر به همین نتیجه خواهد شد. بر این اساس، اگر این نسبت برای چرخ دندنه‌ی انعطاف پذیر از قبل مشخص باشد، می‌توان با رعایت نکات زیر، بجای تحلیل پوسته‌ی انعطاف پذیر که نیاز گسترده به مدل‌سازی و تحلیل نرم افزاری آن دارد اقدام به محاسبه‌ی نسبت یاد شده نمود. بدین منظور چنانچه:

صورت ضمن صرف نظر از نیروی اعمال شده از دندانه‌های دو چرخ دندنه بر یکدیگر و اثر دندانه‌ها بر سختی خمشی پوسته‌ی انعطاف پذیر، نوع بارگذاری بر این پوسته شیبی به پوسته‌ی استوانه‌ی شکلی است که در شکل ۵ نشان داده شده است. می‌توان نشان داد که میدان جابجایی در پوسته‌ی استوانه‌ی شکل از روابط زیر حاصل می‌شود [۱۹].

(۱۵)

$$u = \frac{pa^2}{\pi DL} \sum_{n=2,4,6,\dots}^{\infty} \frac{a \cos n\phi}{(n^2-1)^2 \left[ \frac{1}{3} n^2 L^2 + 2(1-v)a^2 \right]}$$

$$v = \frac{pa^2}{\pi DL} \sum_{n=2,4,6,\dots}^{\infty} \left\{ \frac{1}{n(n^2-1)^2} + \frac{n cx}{(n^2-1)^2 \left[ \frac{1}{3} n^2 L^2 + 2(1-v)a^2 \right]} \right\} \sin n\phi$$

$$w = \frac{pa^2}{\pi DL} \sum_{n=2,4,6,\dots}^{\infty} \left\{ \frac{1}{(n^2-1)^2} + \frac{n^2 cx}{(n^2-1)^2 \left[ \frac{1}{3} n^2 L^2 + 2(1-v)a^2 \right]} \right\} \cos n\phi$$

$u$ ،  $v$  و  $w$  بترتیب جابجایی‌ها در راستای  $x$ ،  $y$  و  $z$  می‌باشند. در رابطه‌ی فوق  $c$  فاصله‌ی فوق تا مرکز استوانه،  $L$  نصف طول استوانه،  $p$  بار اعمال شده،  $a$  شعاع استوانه،  $\phi$  زاویه‌ی بین راستای نیرو و خط شعاعی (شکل ۵ ب) و  $v$  ضریب پواسون است. پارامتر  $D$  ( مقاومت خمشی پوسته ) برابر است با:

$$D = \frac{Et^2}{12(1-v^2)}$$

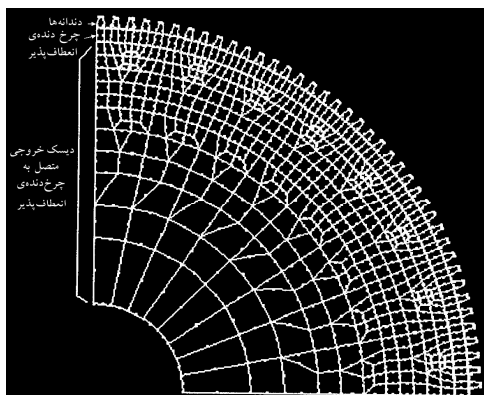
در این رابطه،  $E$  مدول الاستیسیته و  $t$  ضخامت پوسته است. اگر در شکل ۵ ب جابجایی نقاط  $A$  و  $B$  در پوسته‌ی استوانه‌ی شکل را به ترتیب  $w_v$  و  $w_h$  بنامیم در آن صورت اگر مقدار  $c$  را برابر  $L$  فرض شود می‌توان نوشت:

$$w_v = \frac{pa^2}{\pi DL} \sum_{n=2,4,6,\dots}^{\infty} \frac{1}{(n^2-1)^2} \left\{ 1 + \frac{n^2 L^2}{\left[ \frac{1}{3} n^2 L^2 + 2(1-v)a^2 \right]} \right\}$$

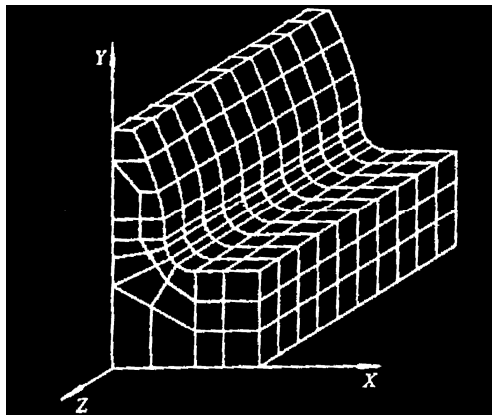
لازم به ذکر است که مقدار جابجایی فوق به ازای  $\phi = 0$  در  $L = x$  در  $\phi = \pi/2$  ( ب ) در  $L = w_h$  ( ب ) از رابطه‌ی ( ۱۸ ) حاصل می‌شود.

(۱۸)

$$w_h = \frac{pa^2}{\pi DL} \sum_{n=2,4,6,\dots}^{\infty} \frac{\cos\left(\frac{n\pi}{2}\right)}{(n^2-1)^2} \left\{ 1 + \frac{n^2 L^2}{(n^2-1)^2 \left[ \frac{1}{3} n^2 L^2 + 2(1-v)a^2 \right]} \right\}$$



شکل ۶-الف: نمای المان‌بندی شده‌ی چرخ دنده‌ی انعطاف‌پذیر و دیسک آن



شکل ۶-ب: نمای المان‌بندی شده‌ی نیمی از یک دندانه‌ی متصل به پوسته‌ی انعطاف‌پذیر

شکل (۸) منحنی تغییرات  $C_f$  را بر حسب طول چرخ دنده‌ی انعطاف‌پذیر به ازای طیف گسترده‌ای از بار اعمال شده که در جدول (۱) آورده شده نشان می‌دهد. بر اساس این شکل می‌توان با در دست داشتن فاکتور  $C_f$  برای جعبه دنده‌ی هارمونیک مورد نظر، نسبت  $w_v/w_h$  را در چرخ دنده‌ی انعطاف‌پذیر را از حاصل ضرب این عدد در  $\xi$  بدست آورد عدد  $\xi$  از معادله‌ی (۱۹) محاسبه می‌شود. بدین ترتیب نیاز مبرم به مدل سازی پوسته‌ی انعطاف‌پذیر و تحلیل اجزای محدود آن را از بین می‌رود.

$$C_f = \frac{(w_v / w_h)}{(w_v / w_h)} \xrightarrow{\text{پوسته‌ی انعطاف‌پذیر}} C_f = \frac{\phi}{\xi}$$

$$C_f = \frac{(w_v / w_h)}{(w_v / w_h)} \Rightarrow C_f = \frac{\phi}{\xi} \quad (۲۰)$$

فاکتور  $C_f$  در حقیقت نمایانگر اثر دندانه‌ها بر پوسته‌ی انعطاف‌پذیر در مقایسه با پوسته‌ی استوانه‌ای شکل است. بعداً نشان داده خواهد شد که در پوسته‌ی چرخ دنده‌ی انعطاف‌پذیر مورد بحث،  $\phi$  برابر  $1/25$  است. درنتیجه:

$$C_f = 1/25(\xi)^{-1} \quad (۲۱)$$

#### ۴- مدل‌سازی اجزای محدود چرخ دنده‌ی انعطاف‌پذیر

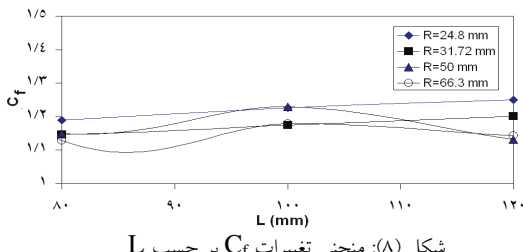
به منظور مطالعه‌ی اثر بارگذاری بر میدان جابجایی، جابجایی‌های نقاط A و B، ابتدا پوسته‌ی انعطاف‌پذیر در محیط ANSYS مدل‌سازی گردید. به دلیل تقارن، فقط یک چهارم پوسته مدل سازی شده و المان‌بندی گردید. شکل (۶) نمای اجزای محدود پوسته‌ی انعطاف‌پذیر را نشان می‌دهد.

#### ۵- بررسی نتایج

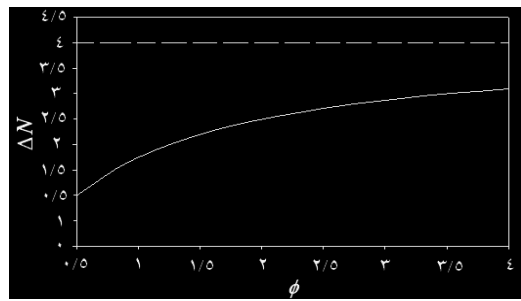
پس از تعیین تعداد المان‌های مناسب در تحلیل پوسته، اثر شعاع پوسته، طول و بار اعمال شده بر جابجایی نقاط A و B بررسی گردید. جدول (۱) نتایج بدست آمده را برای حالات مختلف نشان می‌دهد. در این جدول، L طول پوسته‌ی انعطاف‌پذیر است. همچنین، منحنی تغییرات  $\Delta N$  بر حسب  $\phi$  در شکل (۷) رسم شده است. از آنجا که  $\phi$  باید بزرگتر از صفر بوده و  $\Delta N$  عددی صحیح باشد بنابراین فقط می‌توان یکی از ارقام ۲ و ۳ را برای  $\Delta N$  در نظر گرفت. دو عدد یاد شده به ترتیب به ازای  $\phi = 1/25$  و  $3/5$  حاصل می‌شوند. از نتایج مندرج در جدول ۱ این نتیجه استنبط می‌شود که به ازای جمیع مقادیر بار اعمال شده و ابعاد پوسته‌ی انعطاف‌پذیر، دستیابی به عدد  $3/5$  برای  $\phi$  خارج از انتظار است.

جدول (۱): مقادیر مختلف نسبت جابجایی قائم به افقی ( $\frac{W_v}{W_k}$ ) پوسته‌ی انعطاف پذیر و استوانه به ازای بار و ابعاد مختلف

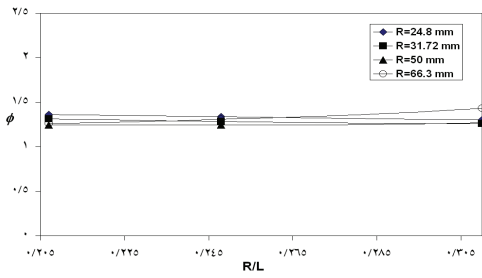
R (mm)	P (N)	L = ۸۰ mm		L = ۱۰۰ mm		L = ۱۲۰ mm	
		( $\frac{W_v}{W_k}$ ) استوانه	( $\frac{W_v}{W_k}$ ) پوسته	( $\frac{W_v}{W_k}$ ) استوانه	( $\frac{W_v}{W_k}$ ) پوسته	( $\frac{W_v}{W_k}$ ) استوانه	( $\frac{W_v}{W_k}$ ) پوسته
۲۴/۸۰	۱۴۰	۱/۰۹۴	۱/۳۰۲۵	۱/۰۹۲	۱/۳۳۹۷	۱/۰۹۱	۱/۳۶۳۵
	۴۲۰	۱/۰۹۴	۱/۳۰۲۵	۱/۰۹۲	۱/۳۳۹۷	۱/۰۹۱	۱/۳۶۳۵
	۸۴۰	۱/۰۹۴	۱/۳۰۲۵	۱/۰۹۲	۱/۳۳۹۷	۱/۰۹۱	۱/۳۶۳۵
	۱۴۰۰	۱/۰۹۴	۱/۳۰۲۵	۱/۰۹۲	۱/۳۳۹۷	۱/۰۹۱	۱/۳۶۳۵
	۲۸۰۰	۱/۰۹۴	۱/۳۰۲۵	۱/۰۹۲	۱/۳۳۹۷	۱/۰۹۱	۱/۳۶۳۵
۳۱/۷۲	۱۴۰	۱/۰۹۷	۱/۲۵۸۵	۱/۰۹۴	۱/۲۸۴۱	۱/۰۹۳	۱/۳۱۳۱
	۴۲۰	۱/۰۹۷	۱/۲۵۸۵	۱/۰۹۴	۱/۲۸۴۱	۱/۰۹۳	۱/۳۱۳۱
	۸۴۰	۱/۰۹۷	۱/۲۵۸۵	۱/۰۹۴	۱/۲۸۴۱	۱/۰۹۳	۱/۳۱۳۱
	۱۴۰۰	۱/۰۹۷	۱/۲۵۸۵	۱/۰۹۴	۱/۲۸۴۱	۱/۰۹۳	۱/۳۱۳۱
	۲۸۰۰	۱/۰۹۷	۱/۲۵۸۵	۱/۰۹۴	۱/۲۸۴۱	۱/۰۹۳	۱/۳۱۳۱
۵۰	۱۴۰	۱/۱۰۷	۱/۲۷۱۵	۱/۱۰۱	۱/۲۴۳۸	۱/۰۹۸	۱/۲۴۲۹
	۴۲۰	۱/۱۰۷	۱/۲۷۱۵	۱/۱۰۱	۱/۲۴۳۸	۱/۰۹۸	۱/۲۴۲۹
	۸۴۰	۱/۱۰۷	۱/۲۷۱۵	۱/۱۰۱	۱/۲۴۳۸	۱/۰۹۸	۱/۲۴۲۹
	۱۴۰۰	۱/۱۰۷	۱/۲۷۱۵	۱/۱۰۱	۱/۲۴۳۸	۱/۰۹۸	۱/۲۴۲۹
	۲۸۰۰	۱/۱۰۷	۱/۲۷۱۵	۱/۱۰۱	۱/۲۴۳۸	۱/۰۹۸	۱/۲۴۲۹
۶۶/۳	۱۴۰	۱/۱۱۷	۱/۴۳۱۳	۱/۱۰۹	۱/۳۰۷۹	۱/۱۰۴	۱/۲۶۱۳
	۴۲۰	۱/۱۱۷	۱/۴۳۱۳	۱/۱۰۹	۱/۳۰۷۹	۱/۱۰۴	۱/۲۶۱۳
	۸۴۰	۱/۱۱۷	۱/۴۳۱۳	۱/۱۰۹	۱/۳۰۷۹	۱/۱۰۴	۱/۲۶۱۳
	۱۴۰۰	۱/۱۱۷	۱/۴۳۱۳	۱/۱۰۹	۱/۳۰۷۹	۱/۱۰۴	۱/۲۶۱۳
	۲۸۰۰	۱/۱۱۷	۱/۴۳۱۳	۱/۱۰۹	۱/۳۰۷۹	۱/۱۰۴	۱/۲۶۱۳



شکل (۸): منحنی تغییرات  $C_f$  بر حسب  $L$



شکل (۷): منحنی تغییرات  $\Delta N$  بر حسب  $\phi$  در پوسته‌ی انعطاف پذیر

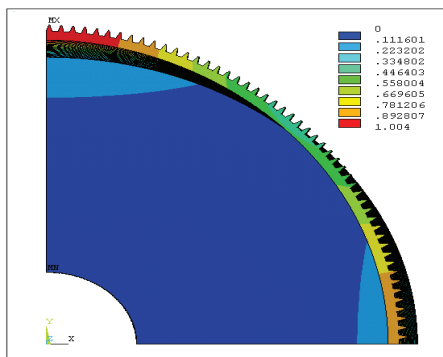


شکل (۹): منحنی تغییرات  $\phi$  بر حسب نسبت  $R/L$

شکل (۹) منحنی تغییرات  $\phi$  را بر حسب نسبت  $R/L$  نشان می‌دهد. همانطور که مشاهده می‌شود پارامتر یاد شده به ازای مقادیر مختلف  $R/L$  نسبتاً ثابت و برابر  $1/25$  است. این نتیجه، عدد تئوری  $1/25$  را برای  $\phi$  به ازای ابعاد مختلف پوسته‌ی انعطاف پذیر تأیید می‌نماید.

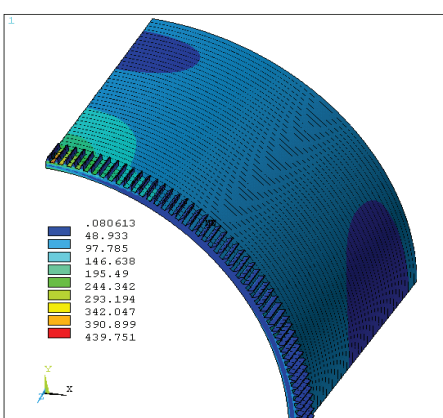
از دو شکل یاد شده می‌توان حداکثر نیرویی را که لازم است تا دندانه را بطور کامل درگیر نماید محاسبه نمود. یقیناً هر نیرویی مزاد بر مقدار یاد شده باعث ایجاد تنفس‌لهیدگی در دندانه‌ها و پوسته‌ی انعطاف‌پذیر خواهد شد. بنابراین، در طراحی و ساخت اهرم موج‌ساز با در نظر گرفتن حداکثر جابجایی مورد نیاز برای دندانه‌ها (پوسته) می‌توان نیروی مورد نیاز را برای این جابجایی مشخص نمود.

شکل (۱۱) نتایج حاصل از تحلیل اجزای محدود جابجایی‌های افقی و قائم پوسته‌ی انعطاف‌پذیر را نشان می‌دهد. در این شکل طول پوسته‌ی انعطاف‌پذیر  $80\text{ mm}$  و شعاع آن برابر  $673\text{ mm}$  است.



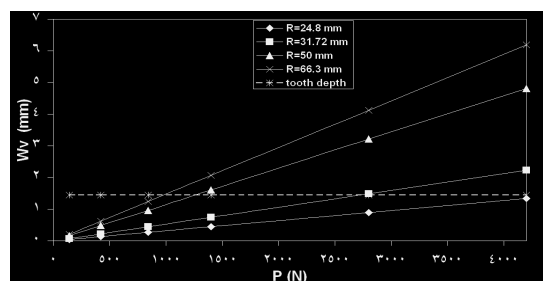
شکل (۱۱): تغییرات جابجایی در پوسته‌ی انعطاف‌پذیر

شکل‌های ۱۲ و ۱۳ منحنی تنفسون مایسز را در پوسته و حداکثر مقدار آن را که در ریشه‌ی دندانه رخ می‌دهد نیز نشان می‌دهند.

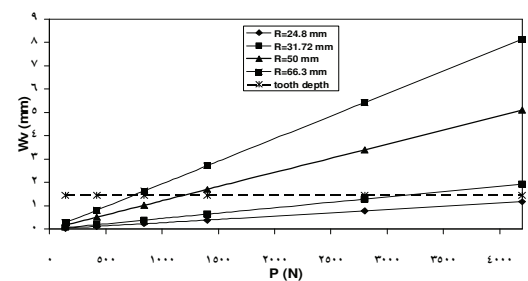


شکل (۱۲): طیف تغییرات تنفسون مایسز در پوسته‌ی انعطاف‌پذیر به ازای  $L = 80\text{ mm}$  و  $R = 673\text{ mm}$

با توجه به شکل ۳-الف، از آنجا که بار اعمال شده سبب می‌شود تا پوسته‌ی انعطاف‌پذیر خم شده و دندانه‌های آن به سمت دندانه‌های چرخ دندنه‌ی صلب رانده شوند لذا لازم است تا نیروی مورد نیاز جهت درگیری کامل دندانه‌ها محاسبه شود. بدیهی است نیروی مزاد بر اندازه‌ی مورد نیاز جهت درگیری کامل دندانه‌ها باعث تنفس‌های ناخواسته در هر یک از اجزا خواهد شد. شکل‌های (۱۰) و (۱۱)، منحنی تغییرات جابجایی قائم دندانه‌ها را بر حسب نیروی اعمال شده از طرف اهرم موج‌ساز در دو حالت مختلف نشان می‌دهند. همانطور که ملاحظه می‌شود ابعاد پوسته‌ی انعطاف‌پذیر یکی از نقش‌های اساسی را در اندازه‌ی این نیرو ایفا می‌کند. بر اساس شکل‌های یاد شده، در جعبه دندانه‌ای هارمونیک کوچکتر (شعاع کوچکتر برای پوسته‌ی انعطاف‌پذیر) نیروی مورد نیازی که باید از طرف اهرم موج‌ساز بر پوسته‌ی انعطاف‌پذیر وارد شده تا درگیری دندانه‌ها به صورت کامل برقرار شود (جابجایی قائم پوسته،  $W_v$ ، برابر با عمق دندانه) در مقایسه با جعبه‌دنده‌های بزرگتر، به مراتب افزایش می‌یابد. این امر برای طول‌های مختلف پوسته‌ی انعطاف‌پذیر مشاهده می‌شود.



شکل (۱۰): جابجایی قائم ایجاد شده در دندانه‌های پوسته‌ی انعطاف‌پذیر به ازای بار اعمال شده ( $L = 80\text{ mm}$ )



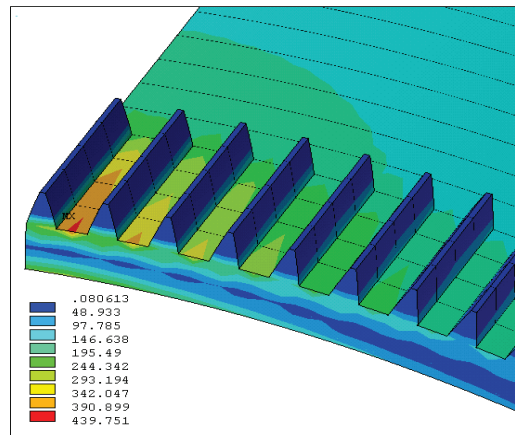
شکل (۱۰): جابجایی قائم ایجاد شده در دندانه‌های پوسته‌ی انعطاف‌پذیر به ازای بار اعمال شده ( $L = 120\text{ mm}$ )

در نتیجه می‌توان از عدد تئوری  $1/25$  برای این نسبت برای کلیهی حالات استفاده نمود. نتایج تحلیل اجزای محدود پوسته‌ی انعطاف‌پذیر عدد  $1/3$  را بجای  $1/25$  (با  $3/8\%$  اختلاف) پیشنهاد می‌نماید.

۳- بر اساس نتایج حاصل از تحلیل سینماتیکی و مدل سازی اجزای محدود پوسته‌ی انعطاف‌پذیر، حداقل تفاوت بین دندانه‌های پوسته‌ی انعطاف‌پذیر و چرخ دندنی صلب می‌تواند برابر  $2$  باشد. این عدد نقش مهمی را در طراحی و ساخت جعبه‌ی دندنهای هارمونیک درایو ایفا می‌کند.

۴- با کوچکتر شدن شعاع پوسته‌ی انعطاف‌پذیر، نیروی مورد نیاز جهت درگیر نمودن کامل دندانه‌ها (واقع بر پوسته‌ی انعطاف‌پذیر و چرخ دندنی صلب) به میزان قابل توجهی افزایش می‌یابد.

۵- نسبت جابجایی افقی به قائم در پوسته‌ی انعطاف‌پذیر شباهت زیادی با نسبت مشابه در پوسته‌ی استوانه‌ای شکل (که تحت بار متتمرکز  $P$  قرار گرفته است) دارد. در نتیجه به منظور محاسبه‌ی نسبت یاد شده در پوسته‌ی انعطاف‌پذیر، و به تبع آن محاسبه‌ی هر یک از مقادیر  $w_v$  و  $w_h$  بدون انجام مدل‌سازی گستردگی اجزای محدود بر روی آن، می‌توان از فاکتور اصلاح  $C_f$  استفاده نمود.



شکل (۱۲): طیف تغییرات تنش فون مایسز در ریشه‌ی دندانه به ازای  $mm$

$$L = 80 \text{ mm} \text{ و } R = 66/3$$

## ۶- نتیجه‌گیری

بر اساس تحلیل سینماتیکی پوسته‌ی انعطاف‌پذیر و نتایج حاصل از مدل‌سازی استاتیکی اجزای محدود آن چنین نتیجه می‌شود که:

۱- در یک جعبه‌ی دندنی هارمونیک درایو، نسبت جابجایی افقی به قائم پوسته‌ی انعطاف‌پذیر ثابت بوده و به بار اعمال شده بستگی ندارد.

۲- تأثیر ابعاد هندسی پوسته‌ی انعطاف‌پذیر بر هر یک از جابجایی‌های قائم و افقی قابل ملاحظه است در حالی که نسبت دو جابجایی یاد شده به ابعاد یاد شده غیر قابل محسوس است.

## مراجع

- 1- Musser C. W. "The Harmonic Drive", United Shoe Machinery Cooperation, Boston, Mass., 1960.
- 2- Fielding M.R. and Dunlop G.R. , "Experimental Fields to Establish Inter-leg Influences for Omnidirectional Hexapod Gait", proc. 4th International Conference on Climbing and Awalking Robots. CLAWAR, 2001, pp. 586-594.
- 3- www.ams.umd.edu/pdf/TMECH2005.pdf, available as of July 2009.
- 4- www.rams.umd.edu/pdf/IROS2003\_2.pdf, available as of July 2009.
- 5- Yim M., Duff D., Roufas K., "Polybot: a Modular Reconfigurable Robot", proc. of IEEE International Conference on Robotics and Automation, April 2000.
- 6- Dunlop G.R., and Wong T.P., "The Delta Walker", Proc. 6th International Conference on Control Automation, Robotics and Vision. ICARCV 2000.
- 7- Unsal C., Killicotte H., Khosla P. "A Modular Self-Reconfigurable Bipartite Robotic System : Implementation and Motion Planning", Autonomous Robots, pp. 23-40, Vol. 10, No. 1, 2001.
- 8- Farritor S., Dubowsky S., "On Modular Design of Field Robotic Systems", Autonomous Robots, pp. 57-66, Vol. 10, No.1, 2001.
- 9- Slatter, R., Koenen, H., "Lightweight Harmonic Drive Gears for Service Robots", http://www.harmonicdrive.de/contenido/cms/upload/pdf/de/fachauf\_19.pdf, Available as of sept. 2009.
- 10- Molendini P., Perrone M., Barbagelata A., Primavori M., "Space gear – An Innovation Reduction Gearbox Based on Nutation", Preparing for the Future, Vol.10 ,No. 3, October 2000.
- 11- Ueura, K., Slatter, R., "Developemnt of the harmonic drive gear for space application", Journal of Space Mechanisms and Tribology, Proceedings of the 8th European Symposium, sept. 29 – oct. 1, 1999, France.

- 12- Dhaouadi ,R., "A New Dynamic Model of Hysteresis in Harmonic Drives", IEEE TRANSACTIONS ON INDUSTRIAL ELECTRONICS, VOL. 50, NO. 6, DECEMBER 2003.
- 13- Kayabasi, O., Erzincanli, F., "Shape optimization of tooth profile of a flexspline for a harmonic drive by finite element modeling", Materials and Design vol. 28, pp. 441–447, 2007.
- 14- Ardelean, F., "3D Modeling of the Harmonic Drive Using CATIA", <http://imtuoradea.ro/auo.fmte/files-2007/MECATRONICA files/Flavius Ardelean 2.pdf>, available as of sept. 2009.
- 15- Grill J., A new plastic Strain Wave Gearing", International Conference on Gears, March 13-15, 2002, Germany.
- 16- Kikuchi, M., Nitta, R., Kiyosawa, Y., and Zhang, Xin-Yue, "Stress analysis of Cup Type Strain Wave Gearing", Key Engineering Materials, Vols. 243-244, pp. 129-134, 2003.
- 17- Ianici, S., Ianici, D., and Potoceanu, N. ", Design of Double Harmonic Transmission", 6th International DAAAM Baltic Conference Industrial Engineering 24-26 April 2008, Tallinn, Estonia.
- 18- Rheaume, F. E., Champliaud, H., Liu, Z., "On The Computing of the Torsional Rigidity of a Harmonic Drive Using FEA", <http://www.ansys.com/events/ proceedingsf/2006/papers/178.pdf>, Available as of sept. 2009.
- 19- Kayser A.," Component Oriented Modeling and Simulation of Harmonic Drive Gear Units", International Conference on Gears, March 13-15, 2002, Germany.
- 20- Timoshenko, S. P., Krieger S. W., "Theory of plates and shells", McGraw-hill, 24th printing, 1983.